

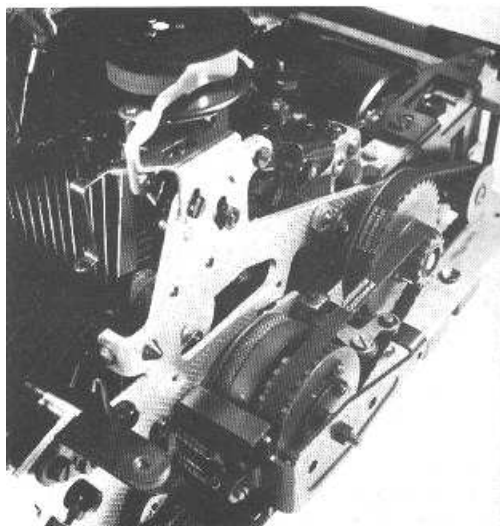
## 2. CALCULUL ȘI CONSTRUCȚIA SISTEMELOR DE TRANSMITERE PRIN CUREA DINȚATĂ

Sistemele de transmitere cu element intermediar (curele, lanțuri și cabluri mecanice) sunt utilizate în construcția sistemelor mecatronice pentru cazurile când elementul conducător de acționare se află la distanță relativ mare față de elementul condus de lucru.

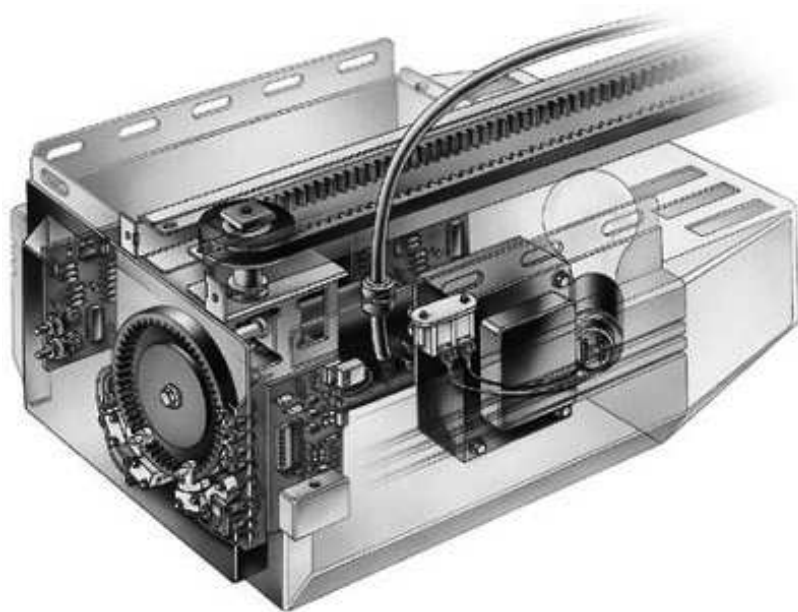
Transmisia prin curea dințată oferă următoarele *avantaje* importante: funcționarea silențioasă cu viteză unghiulară constantă; menținerea raportului de transmitere riguros constant; asigură capacitate portantă mare și randament ridicat  $\eta = 0,95 \dots 0,99$ ; necesită tensionare inițială mai mică a curelei și transmite forța utilă fără alunecări elastice; produce încărcări mai mici pe arborii între care se montează cureaua; poate rula într-un domeniu larg de temperaturi de la  $-30$  ( $-40$ )<sup>0</sup>C până la  $+80$  ( $+120$ )<sup>0</sup>C; nu necesită ungere; nu este sensibilă la ulei, benzină și alcool; rezistentă la abraziune; stabilă la îmbătrânire; are durabilitate ridicată; asigură o construcție compactă cu întreținere ușoară.

### 2.1. Utilizarea transmisiei prin curea dințată în construcțiile mecatronice

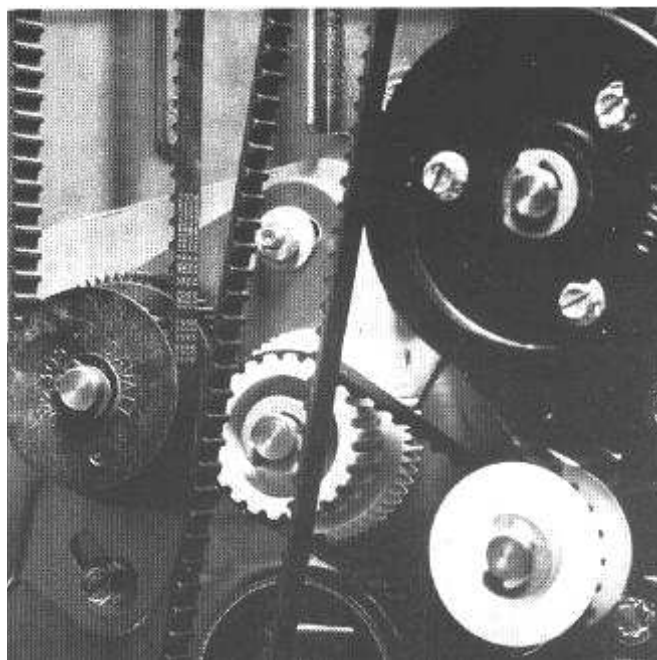
Aplicațiile și domeniile de utilizare ale transmisiilor prin curea dințată sunt foarte variate datorită alternativei mai economice și fără necesitatea întreținerii în timpul funcționării față de transmisiile convenționale (lanțuri, roți dințate, curele trapezoidale) de la *transmisii de putere redusă* ca: jucării, mașini electrice de scris (figura 2.1), echipamente periferice (figura 2.2), fotocopioare (figura 2.3), proiectoare de film (figura 2.4), camere video, mixere, aparate de uz casnic, mașini textile (figura 2.5), în construcția de automobile (figura 2.6), automatizări ale construcției de mașini (ex.: mașini-unelte figura 2.7 și dispozitive figura 2.8), utilaje din industria hârtiei și prelucrarea lemnului până la *mașini industriale de putere mare*: transportoare (figura 2.9), utilaje de prelucrare (figura 2.10), compresoare, pompe de ulei, ventilatoare, motoare cu ardere internă (figura 2.11), vibratoare, calandre de acoperire cu cauciuc, mori cu ciocane) sau alte *mașini sofisticate*: mașină de laminare (figura 2.12), mașină de acoperire (figura 2.13).



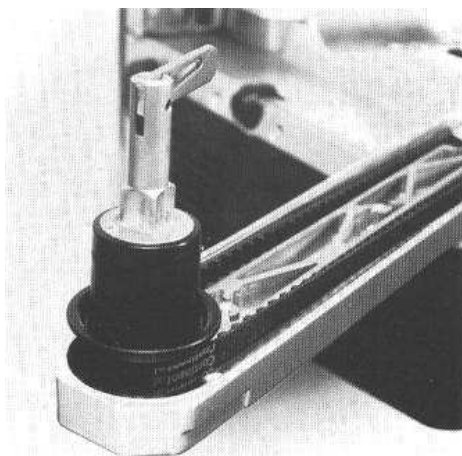
*Fig. 2.1 Curea dințată pentru mașini de scris*



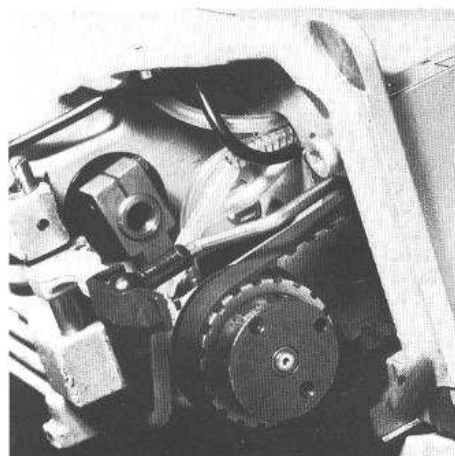
*Fig. 2.2 Sistem de transmitere prin curea dințată la imprimantă*



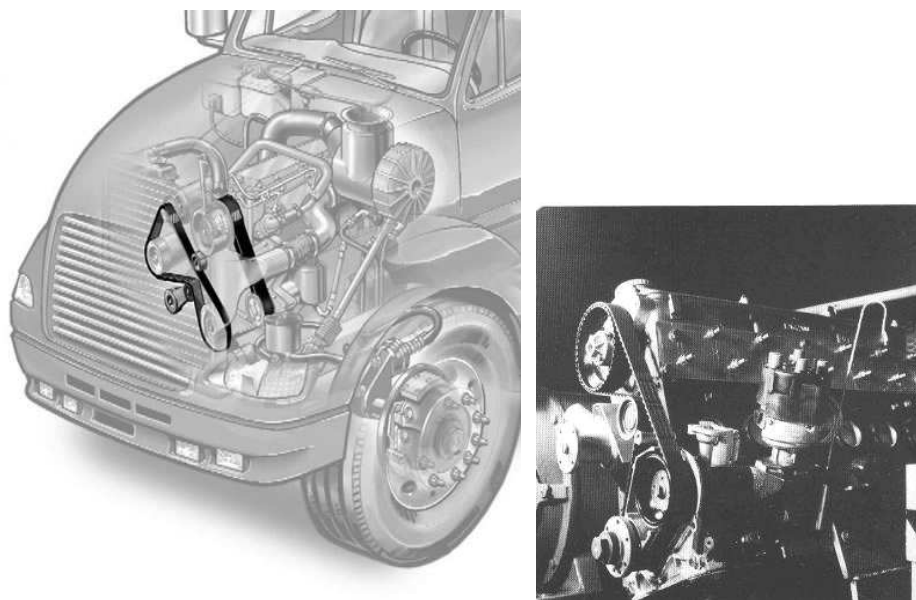
*Fig. 2.3 Curea dințată pentru aparate de fotocopiat*



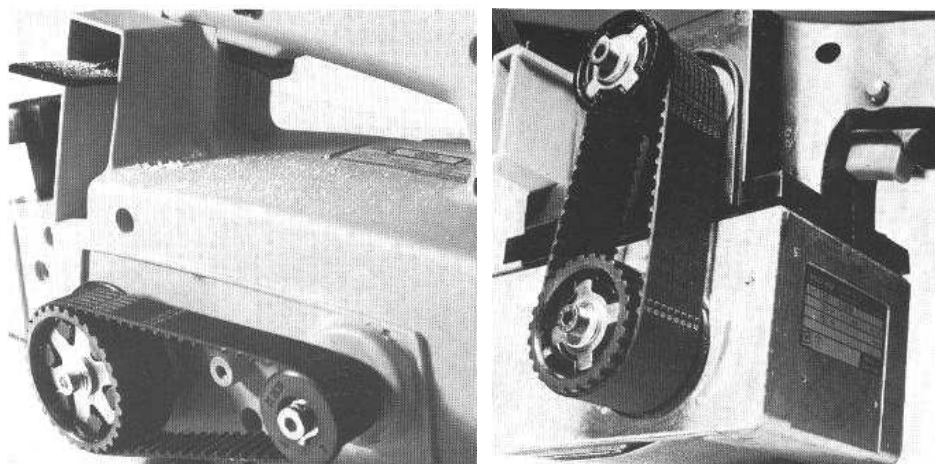
*Fig. 2.4 Curea dințată pentru proiector de filme*



*Fig. 2.5 Mașină industrială de cusut*



*Fig. 2.6 Curea transmisie arbore cu came*



*Fig. 2.7 Sistem de acționare a mașinii de rabotat*

*Fig. 2.8 Dispozitiv de șlefuire cu bandă*



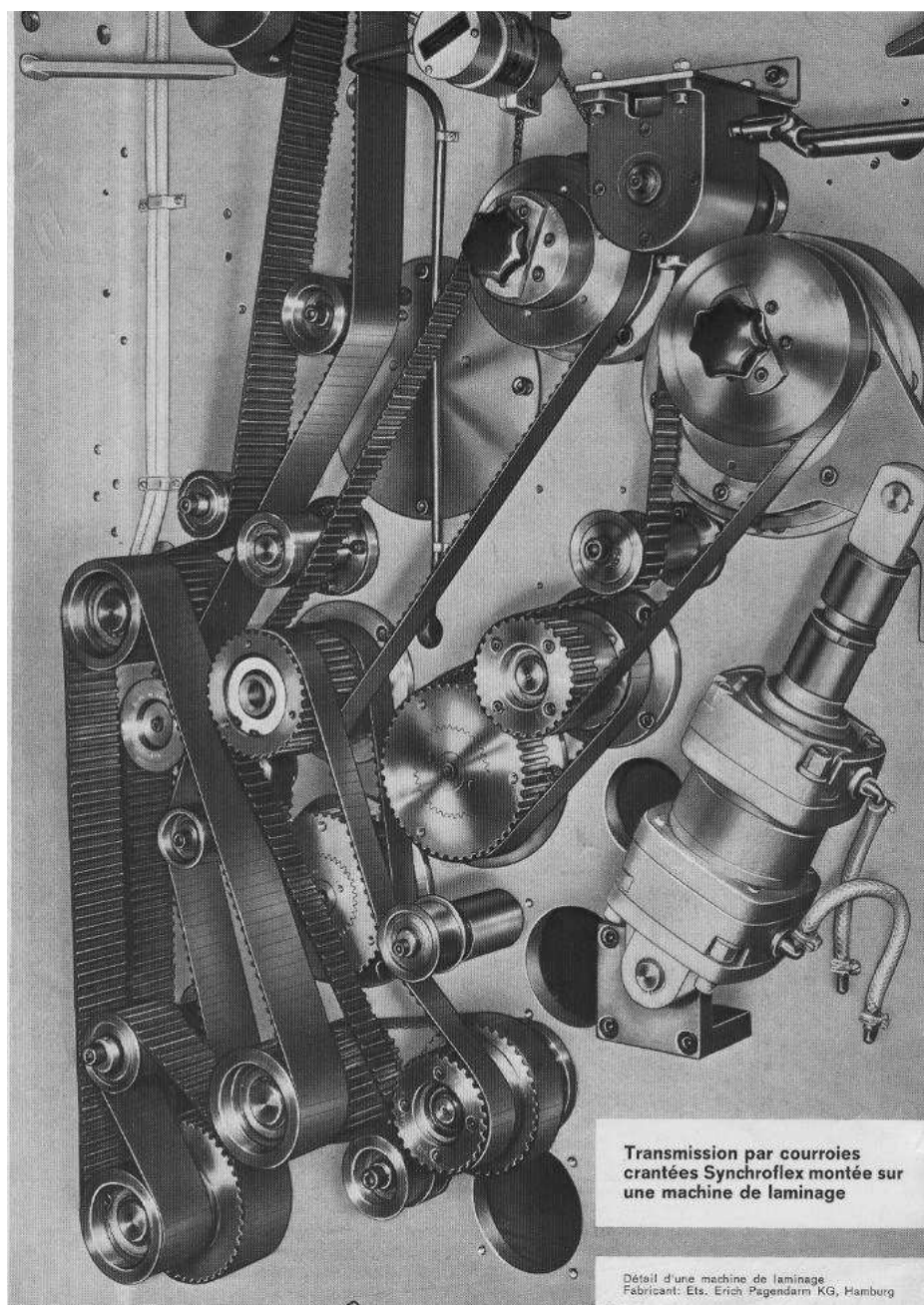
*Fig. 2.9* Transmisie prin curea dințată din construcția unui transportor



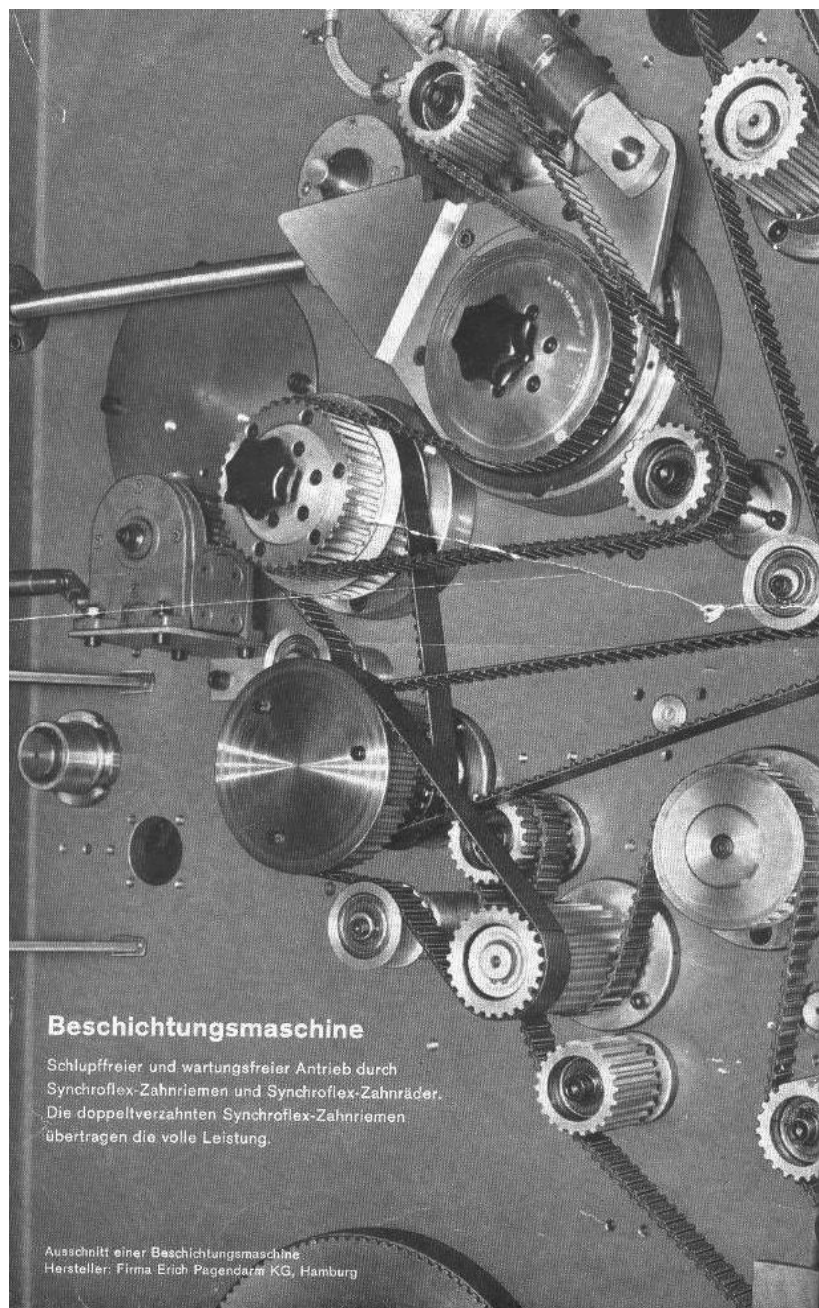
*Fig. 2.10* Transmisie prin curea dințată la un utilaj



*Fig. 2.11* Transmisie motor Jeep Diesel

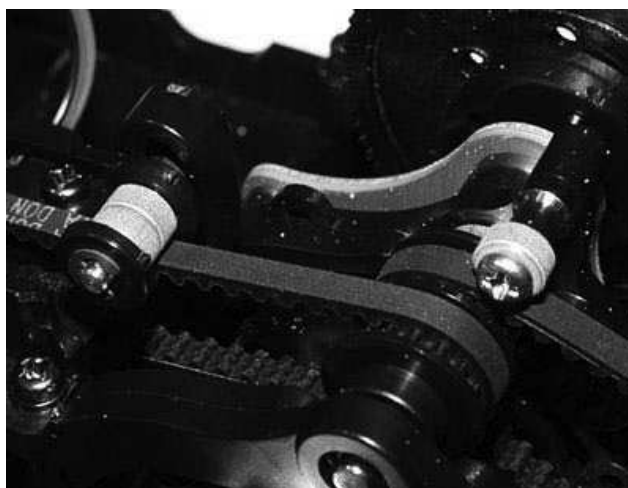


**Fig. 2.12** Sistem de transmitere prin curele dințate montate pe o mașină de laminare



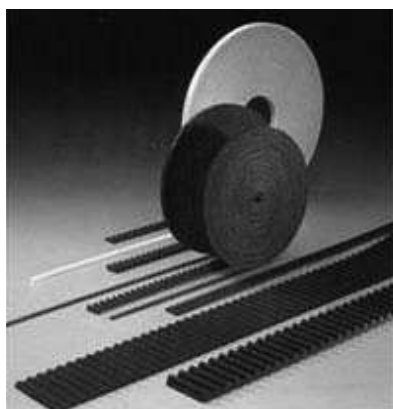
**Fig. 2.13** *Sisteme de transmitere prin curele dințate la o mașina de aplicare a unui strat de acoperire*

Funcționarea corectă a unei transmisii prin curea dințată se realizează prin pretensionarea elementului flexibil intermediar cu role de întindere ca în figura 2.14



*Fig. 2.14 Tensionarea curelei dințate*

Pentru transmisiile de poziționare reversibile se utilizează *curele dințate deschise lungi* (figura 2.15) potrivite în special pentru deplasări liniare (uși automate, transportoare și ascensoare automate pentru depozite), poziționare precisă (mașini-unelte și mașini de prelucrare în coordonate) și dispozitive reversibile (imprimante, echipamente de birou).

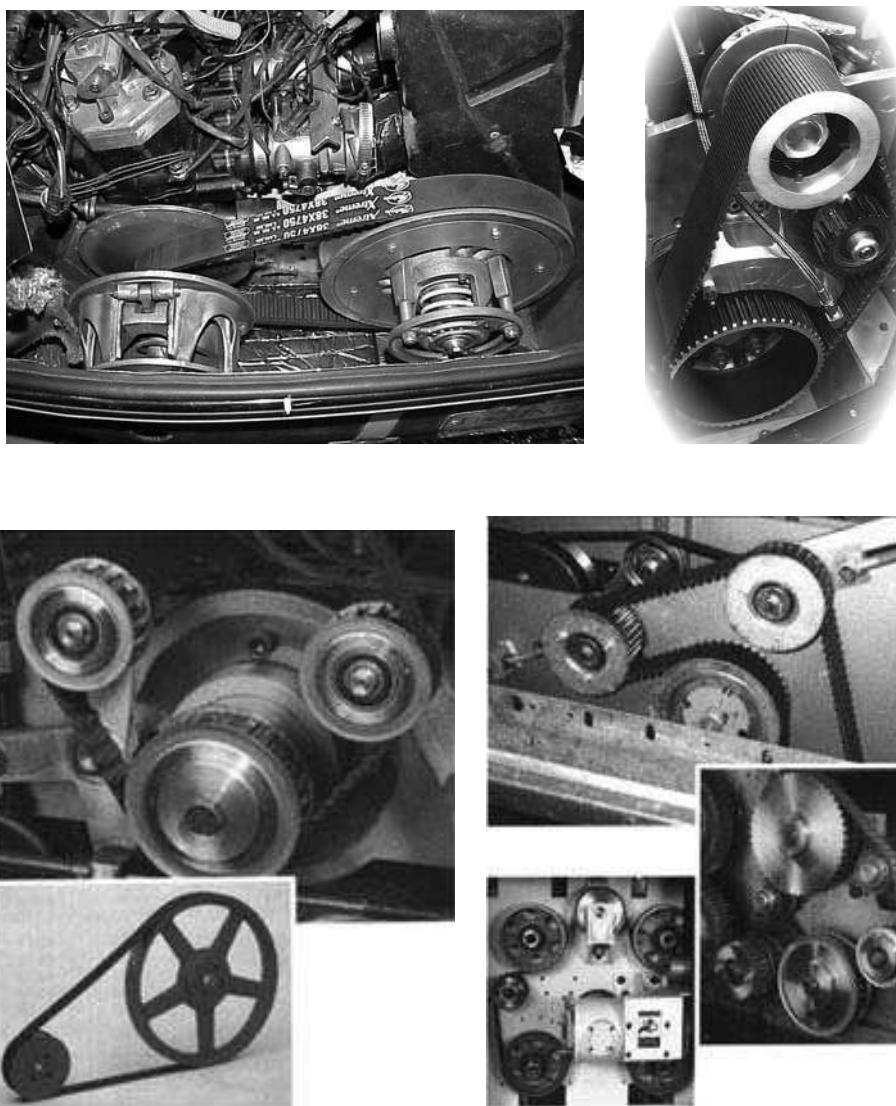


*Fig. 2.15 Curele dințate deschise lungi*



## **2.2. Construcția sistemelor de transmitere indirectă prin curea dințată**

Cele mai utilizate tipuri constructive de sisteme de transmitere a mișcării de rotație prin curea dințată sunt prezentate în figura 2.16.



*Fig. 2.16 Tipuri constructive de transmisii prin curea dințată*

**Curelele dințate** sau **sincrone** (*Synchronous/Timing /Tooth Belts, Courroie synchrone, Synchron/Zahnriemen*) sunt curele late prevăzute cu dantură prismatică sau rotundă, pe una sau ambele fețe, care angrenează cu dinții corespunzători ai roților de curea, transmițând astfel puterea și mișcarea între doi sau mai mulți arbori.

Forma constructivă a curelei dințate este determinată de preocuparea cumulării avantajelor transmisiei prin curele trapezoidale cu cele ale efectului de angrenare de la transmisiile prin lanț.

În figura 2.17 este evidențiată **structura curelei dințate** în secțiune transversală, astfel:

1 – *învelișul de protecție* (spatele curelei) acoperă partea nedanturată a curelei și este realizat din poliuretan sau cauciuc cloroprenic;

2 – *structura de rezistență* (insertie cu modul de elasticitate  $E$  ridicat) realizată din fibre sintetice de poliamidă, poliester, aramidă, oțel sau fibră de sticlă sub formă de cabluri cu diametre  $d_f = 0,3 \dots 0,9$  mm înfășurate elicoidal continuu și dispuse pe un rând pe toată lățimea curelei. Aceste miezuri conferă curelei rezistență ridicată la îndoire elastică și la tracțiune;

3 – *dinții* (corpul curelei) realizați din cauciuc sintetic dur (elastomer poliuretanic, policloroprenic, siliconic) sau masă plastică;

4 – *învelișul dinților* (strat de protecție) realizat din țesătură de fibre poliamidice sau poliester (nylon, neopren sau poliuretan) foarte rezistent la uzură, având coeficient de frecare mic.

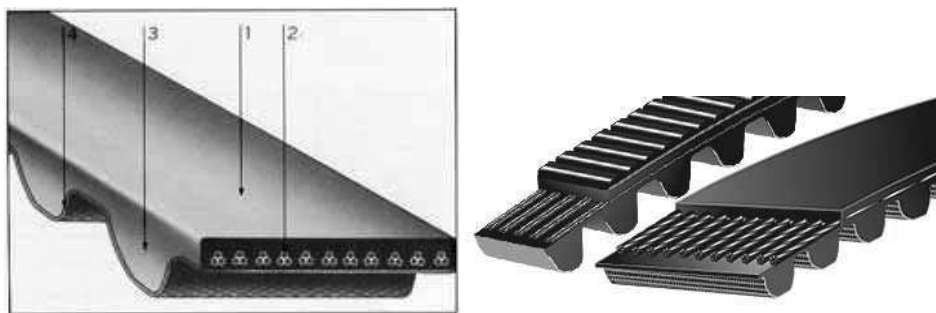
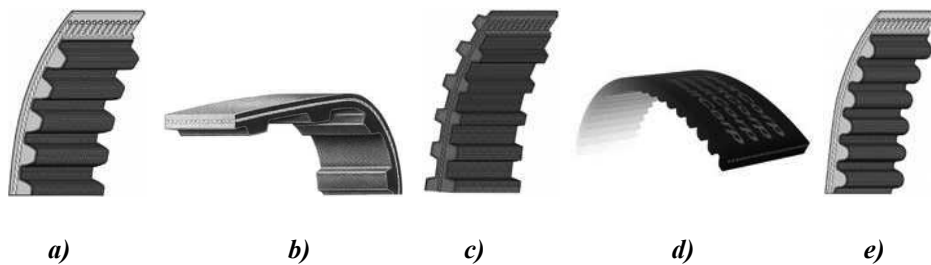


Fig. 2.17 Structura curelei dințate

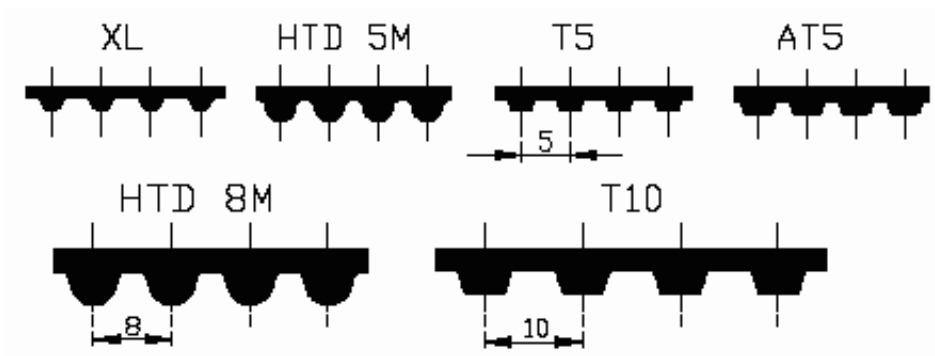
Principalele **tipuri constructive de curele dințate** exemplificate în figura 2.18 diferă în funcție de forma profilului dinților (rectiliniu

trapezoidal sau curbiliniu) cu dispunerea pe una sau ambele fețe ale curelei și dimensiunile exprimate în inch sau mm.



**Fig. 2.18** Tipuri constructive de curele dințate:  
 a) cu dinți trapezoidali pe o singură față cu pas în inch; b) cu dinți trapezoidali pe o singură față cu pas în mm; c) cu dinți trapezoidali pe ambele fețe cu pas în inch; d) cu dinți cu profil parabolic pe o singură față; e) cu dinți curbilinii pe o singură față

**Forma profilului dintelui** unei curele dințate (figura 2.19) asigură angrenarea corectă, fără alunecare, cu dinții roților de curea între care se transmite mișcarea de rotație și momentul de torsiune.



**Fig. 2.19** Forma profilului dintelui la curelele sincrone

La dinții cu formă trapezoidală clasică apare o concentrare unilaterală a tensiunilor mare la piciorul dintelui (figura 2.20 a). Geometria curbilinie **HTD** (High Torque Drives) a dinților elimină concentrarea tensiunii, ajungând la o distribuție a tensiunilor semnificativ mai bună (figura 2.20 b) care permite capacități de transmitere a puterii mai mari cu aproximativ 30 % și durabilități crescute. Forma rotundă a dinților asigură poziționarea corectă a curelei în canalele roților de curea, reducând variațiile de viteză.

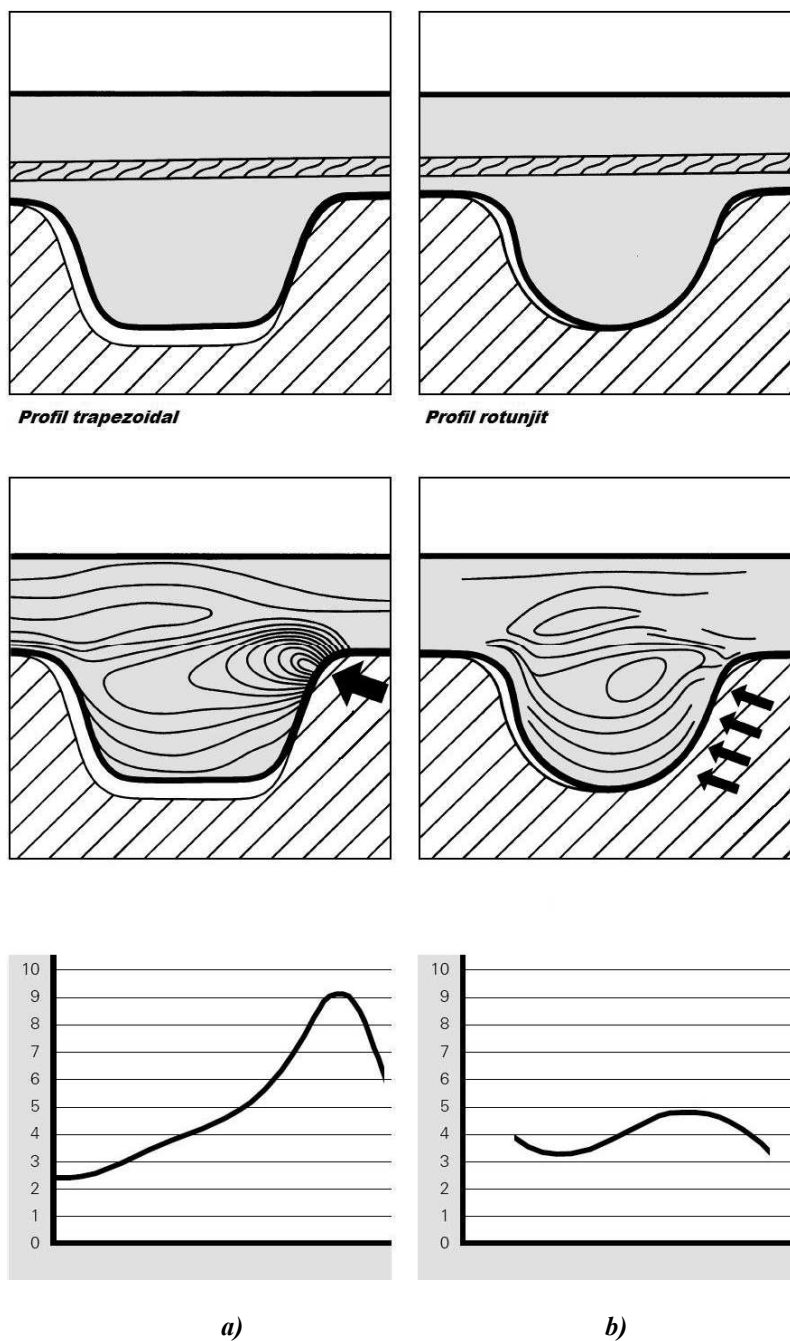


Fig. 2.20 Distribuția tensiunilor pe dintele curelei dințate

Domeniile de utilizare transmisiei prin curea dințată de putere mare **HTD** cuprind mașini-unelte de performanță ridicată, unelte de mână electrice, echipamente pentru birou, aparate electrocasnice și pentru aplicațiile din industria chimică și prelucrătoare, oriunde se cere durabilitate mare și întreținere ieftină.

### 2.3. Elemente geometrice ale curelei dințate

Tipurile de **curea dințată** cele mai utilizate la transmisiile mecanice din construcțiile mecatronice sunt **cu profil trapezoidal** cu parametrii geometrici indicați în tabelul 2.1 cu simbolizarea corespunzătoare.

Principalele *dimensiuni ale curelelor dințate cu profil trapezoidal*, indicate în cataloage sau standarde, sunt reprezentate în figura 2.21:

- $p_b$  – pasul danturii;
- $S$  – lățimea piciorului dintelui;
- $2\beta$  – unghiul dintelui;
- $h_t$  – înălțimea dintelui;
- $h_s$  – înălțimea curelei;
- $r_a$  – raza capului dintelui;
- $r_r$  – raza piciorului dintelui.

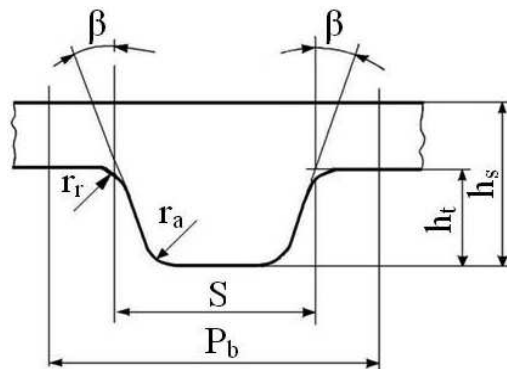


Fig. 2.21 Dimensiunile dintelui curelei dințate clasice

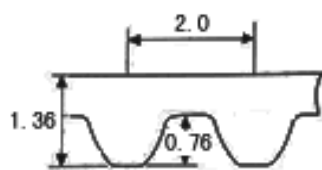
*Calculul și construcția sistemelor mecatronice*

**Tabelul 2.1** Dimensiunile curelelor dințate cu profil trapezoidal

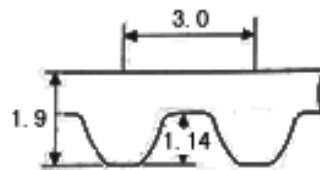
Simbol	Pasul $p$		$2\beta$	$S$	$h_t$	$h_s$	$r_r$	$r_a$	Lățimea curelei $b$		
	mm	inch							Simbol	Valoare	
										Nom.	Abateri
MXL	2.032	0.08	$40^0$	1.14	0.51	1.14	0.13	0.13	012	3.0	+0.5 -0.8
									019	4.8	
									025	6.4	
XL	5.080	1/5	$50^0$	2.57	1.27	2.30	0.38	0.38	025	6.4	+0.5 -0.8
									031	7.9	
									037	9.5	
L	9.525	3/8	$40^0$	4.65	1.91	3.60	0.51	0.51	050	12.7	$\pm 0.8$
									075	19.1	
									100	25.4	
H	12.700	1/2	$40^0$	6.12	2.29	4.30	1.02	1.02	075	19.1	$\pm 0.8$
									100	25.4	
									150	38.1	
									200	50.8	
									300	76.2	
XH	22.225	7/8	$40^0$	12.57	6.35	11.20	1.57	1.19	200	50.8	-
									300	76.2	
									400	101.6	
XXH	31.750	1.25	$40^0$	19.05	9.53	15.70	2.29	1.52	200	50.8	-
									300	76.2	
									400	101.6	
									500	127.0	

Dimensiunile nominale ale curelelor dințate semirotunde (figura 2.22) și rotunde (figura 2.23) sunt indicate pentru fiecare tip (serie) de curea dințată în mm.

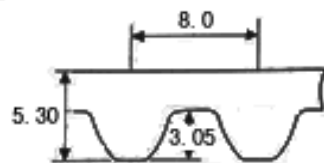
**Tip S2M**



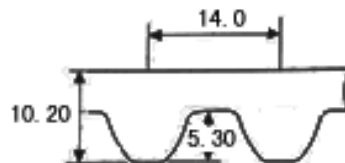
**Tip S3M**



**Tip S8M**



**Tip S14M**



**Fig. 2.22** Dimensiunile curelor dințate semirotunde

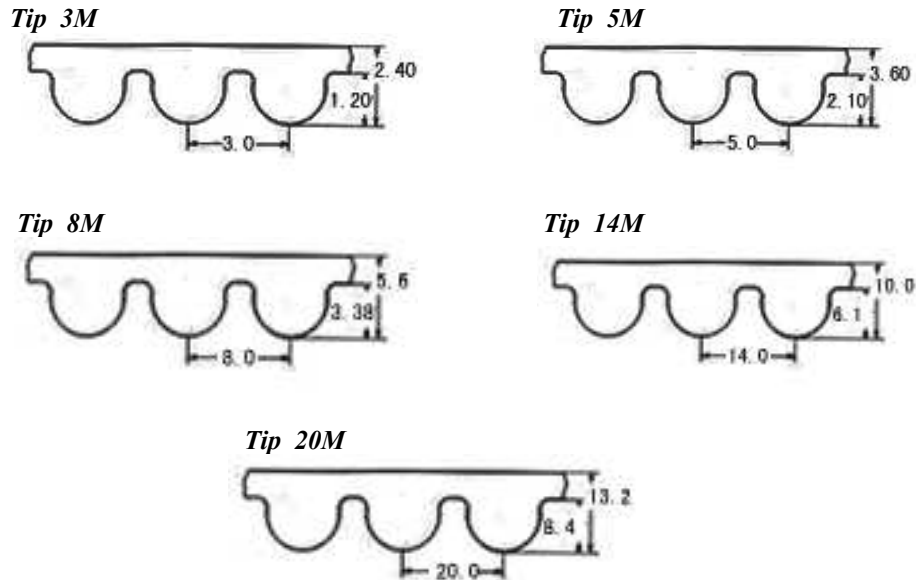


Fig. 2.23 Dimensiunile curelelor dințate rotunde

Simbolizarea curelei dințate este indicată în STAS 12918/3–91, **mărimea curelei dințate** este identificată printr-un număr ce reprezintă simbolul lungimii liniei de divizare, o literă sau grup de litere care reprezintă pasul standard și un simbol pentru lățimea curelei.

*Exemplu de notare* a unei curele dințate cu lungimea liniei de divizare de 1066,8 mm, pasul de 9,525 mm și lățimea de 2,7 mm:

**Curea 420 L 050 – STAS 12918/3 – 91.**

#### 2.4. Calculul de proiectare al transmisiei prin curea dințată

Parametrii care influențează durabilitatea curelei dințate sunt:

- caracteristicile geometrice ale danturii curelei și roților de curea,
- rezistența cauciucului și fixarea acestuia în carcasa exterioară de protecție,
- sarcina maximă transmisă de curea,
- variația ciclică a eforturilor unitare.

Din aceste considerente, calculul de proiectare al transmisiilor prin curea dințată diferă în funcție de firma producătoare, fiind indicată în

cataloge. În general recomandările de calcul țin seama de principalele **criterii de deteriorare** a dinților curelei, solicitați la *oboseală* datorită uzării flancurilor în contact cu dinții roților de curea (condiție pentru calculul de dimensionare), precum și la *forfecare* și *strivire* (condiții de verificare).

#### 2.4.1. Calculul de dimensionare a transmisiei prin curea dințată

Dimensionarea transmisiei prin curea dințată urmărește determinarea parametrilor geometrici ai curelei și roților de curea.

##### Datele inițiale de proiectare :

- puterea utilă de transmis (la arborele conducător)  $P$ ;
- turația roții dințate mici  $n_i$ ;
- raportul de transmitere  $i$  ;
- condițiile de funcționare: tipul mașinii de acționare și a celei antrenate, regimul de lucru (numărul de ore de funcționare pe zi, dinamicitatea sarcinii exterioare), modul de realizare a pretensionării curelei dințate.

**Algoritmul de calcul pentru dimensionarea transmisiei prin curea dințată** se desfășoară similar pentru cele două tipuri principale de secțiuni transversale ale curelei (cu profil trapezoidal și profil în arc de cerc) și cuprinde următoarele **etape**:

1) *Puterea de calcul* se determină cu relația:

$$P_c = C \cdot P \quad (2.1)$$

în care:  $C$  este coeficientul global de corecție care ia în considerare condițiile reale de funcționare și se determină ca suma de coeficienți parțiali prin:

$$C = C_1 + C_2 + C_3 + C_4 \quad (2.2)$$

unde:  $C_1$  caracterizează tipul mașinii de antrenare și a mașinii antrenate (valoarea se alege din tabelul 2.2);  $C_2$  depinde de tipul transmisiei (are valori diferite de zero numai pentru transmisii multiplicatoare și este dat în tabelul 2.3);  $C_3$  coeficient de exploatare, funcție de timpul de lucru pe zi (se alege din tabelul 2.4);  $C_4$  coeficientul sistemului de întindere a curelei (din tabelul 2.5).



Tabelul 2.2 Factorul de încărcare  $C_1$

Mașina de antrenare (acționare) / Mașina antrenată (de lucru)	Motoare de c.a. și trifazate cu momente de pornire mici $< 1.5 \times M_{nom}$ ; motoare de c.c. cu excitație derivație; motoare cu ardere internă cu 8 și mai mulți cilindri	Motoare de c.a. și trifazate cu momente de pornire medii $1.5 \dots 2 \times M_{nom}$ ; motoare cu ardere internă cu 6 cilindri	Motoare de c.a. și trifazate cu momente de pornire mari $> 2.5 \times M_{nom}$ ; motoare cu ardere internă cu 4 cilindri/mai puțin
Mașini de scris și calculat. Fotocopiatoare, teleimprimatoare, mașini de organizare, calculatoare, proiectoare de film și camere video; mașini ușoare de uz casnic, tahometre	1,1	1,2	1,3
Agitatoare mecanice, calandre și utilaje pentru fabricarea hârtiei, mașini de cules, scris și fălțuit, pompe centrifuge și compresoare. Ventilatoare $< 7,5$ kW, mașini de prelucrat lemnul, instalații de filtrat.	1,2	1,4	1,6
Agitatoare mecanice și instalații de amestecare pentru medii semifluide, Mașini-unelte: rectificat, strunjit, găurit și frezat, ștațe, mașini de gofrat, prese, mașini textile, mașini de spălat, ventilatoare $> 7,5$ kW; generatoare și mașini de excitație, prese rotative, sită vibratoare.	1,3	1,5	1,7
Elevatoare, transportoare elicoidale, centrifuge, mașini de fabricare a hârtiei: mecanisme de măcinat, pompe, mașini de tocat, pompe cu piston și compresoare, suflante, ventilatoare cu putere ridicată.	1,5	1,7	1,8
Concasoare, laminoare, mori cu ciocane, mașini de format cărămida, mașini de prelucrat cauciuc, compresoare și pompe cu puteri mari, ascensoare.	1,6	1,8	1,9

**Calculul și construcția sistemelor mecatronice**

**Tabelul 2.3** Factorul raportului de transmitere

Raportul de transmitere $i_{STCD} = n_1 / n_2$	$C_2$
> 1,00	0
1,00 - 0,80	0
0,81 - 0,58	0,1
0,57 - 0,41	0,2
0,40 - 0,29	0,3
< 0,29	0,4

**Tabelul 2.5** Factorul sistemului de întindere

Sistemul de întindere a curelei	$C_4$
Cu rolă	0,2
Cu glisieră	0

**Tabelul 2.4** Factorul regimului de funcționare

Durata de funcționare	$C_3$
Funcționare ocazională (intermitentă) < 8 ore	-0,2
Zilnic între 8 – 16 ore	0,1
Zilnic peste 16 ore	0,2

**Tabelul 2.6** Factorul numărului de dinți aflați în angrenare

$z_0$	$c_0$
$\geq 6$	1,0
5	0,8
4	0,6
3	0,4

2) *Alegerea tipului de curea dințată* (simbolul curelei) se face din nomogramele din figura 2.24 pentru curele dințate cu profil trapezoidal, în funcție de puterea de calcul și turația roții mici.

3) *Stabilirea pasului  $p$  al danturii curelei* din tabelul 2.1, funcție de tipul curelei dințate ales anterior.

*Elementele geometrice ale transmisiei prin curea dințată* sunt reprezentate în figura 2.25.

4) *Determinarea modulului danturii curelei* se face cu relația:

$$m = \frac{P}{\pi} \quad (2.3)$$

5) *Stabilirea numerelor de dinți* pentru roțile de curea:

$z_1$  – pentru roata mică se face din condiția asigurării durabilității curelei în funcționare din tabelul 2.7, funcție de tipul curelei dințate și numerele de dinți recomandate  $z_{min}$  și  $z_{max}$ ;

$z_2$  – pentru roata mare se calculează în funcție de raportul de transmitere:

$$z_2 = i \cdot z_1 \quad (2.4)$$

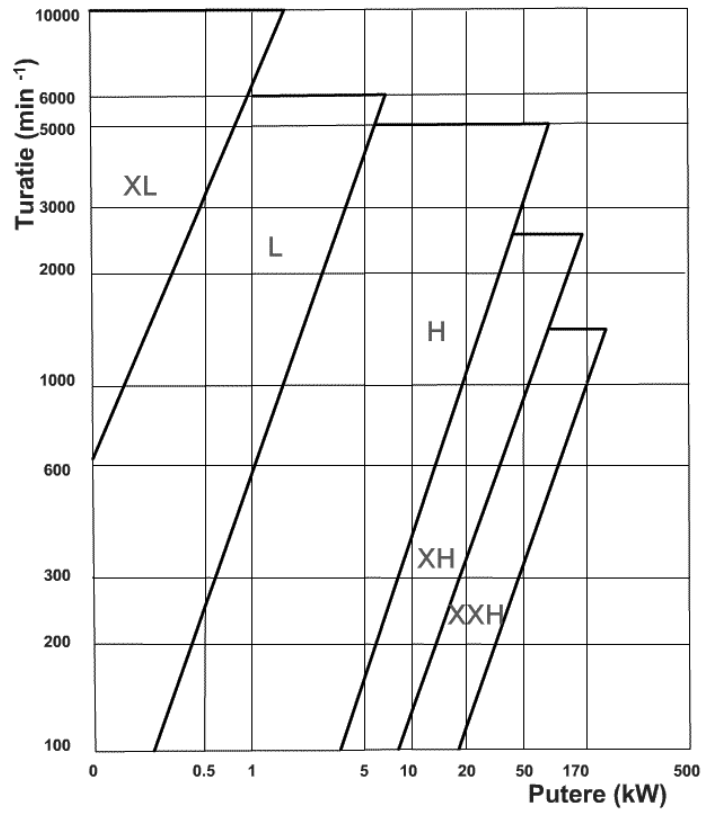


Fig. 2.24 Diagrama pentru alegerea tipului de curea dințată

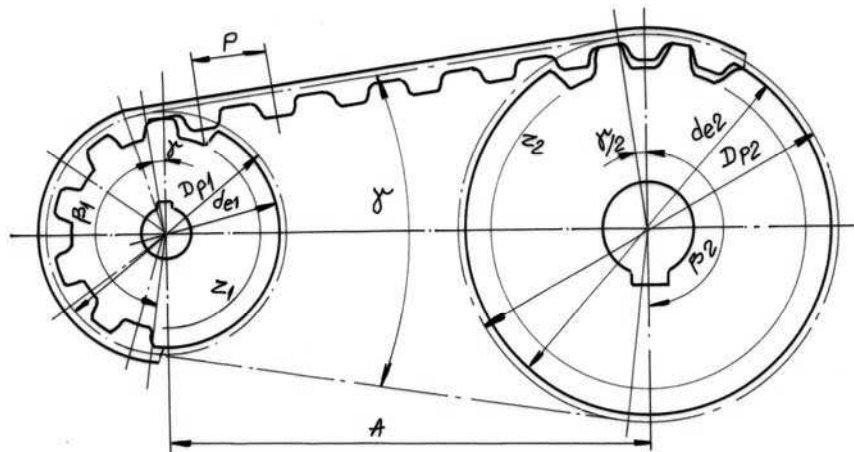


Fig. 2.25 Geometria transmisiei prin curea dințată

**Calculul și construcția sistemelor mecatronice**

**Tabelul 2.7** Valori minime pentru curele dințate trapeziodale clasice

<i>Seria</i>	$z_{1\text{ minim}}$	$z_{\text{maxim}}$	$D_{p1\text{ minim}}$	$i_{\text{minim}}$
<b>MXL</b>	10	25	6,48	–
<b>XL</b>	10	30	16,17	7,20
<b>L</b>	12	48	36,38	8,40
<b>H</b>	16	48	64,68	8,57
<b>XH</b>	20	40	155,64	6,67
<b>XXH</b>	22	40	222,34	5,00

6) *Diametrele primitive ale roților de curea* se determină în funcție de modulul danturii și numerele de dinți:

$$D_{p1(2)} = m \cdot z_{1(2)} \quad (2.5)$$

7) *Distanța dintre axe preliminară* se alege între două limite stabilite de normele de calcul:

$$0.5 \cdot (D_{p1} + D_{p2}) \leq A_p \leq 2 \cdot (D_{p1} + D_{p2}) \quad (2.6)$$

8) *Unghiul dintre ramurile curelei:*

$$\gamma = 2 \cdot \arcsin \frac{D_{p2} - D_{p1}}{2 \cdot A_p} \quad (2.7)$$

9) *Unghiurile de înfășurare ale curelei pe roți* sunt date de relațiile:

$$\beta_{1(2)} = 180^\circ \mp \gamma \quad (2.8)$$

10) *Lungimea primitivă a curelei* se calculează cu relația:

$$L_p = 2 \cdot A_p \cdot \sin\left(\frac{\beta_1}{2}\right) + \frac{\pi}{360} \cdot (\beta_1 \cdot D_{p1} + \beta_2 \cdot D_{p2}) \quad (2.9)$$

iar valoarea rezultată se rotunjește la o valoare standardizată  $L$  (multiplu al pasului) care reprezintă:

11) *Numărul de dinți ai curelei:*

$$z_c = L / p \quad (2.10)$$

12) *Distanța dintre axe* se recalculază, pentru respectarea lungimii standardizate a curelei dințate, cu relația:

$$A = \frac{L - \frac{\pi}{360} \cdot (\beta_1 \cdot D_{p1} + \beta_2 \cdot D_{p2})}{2 \cdot \sin\left(\frac{\beta_1}{2}\right)} \quad (2.11)$$

13) Numărul de dinți aflați în angrenare între curea și roata mică:

$$z_0 = z_1 \cdot \frac{\beta_1}{360} \quad (2.12)$$

este recomandat să aibă valori între **6** și **15**.

14) Lățimea teoretică a curelei dințate se determină cu relația:

$$b_t = 10 \cdot \frac{P_c}{C_0 \cdot P_0} \quad (2.13)$$

unde:  $C_0$  – factorul de corecție al numărului de dinți  $z_0$  aflați în angrenare (din tabelul 2.6);  $P_0$  – puterea unitară a curelei (puterea transmisă de o curea cu lățimea de 10 mm) indicate, pentru fiecare tip constructiv de curea dințată cu profil trapezoidal (tabelele din Anexa 6 din Îndrumarul de proiect), în funcție de numărul de dinți și turația roții mici.

15) Lățimea curelei dințate:

$$b = C_5 \cdot b_t \quad (2.14)$$

în care:  $C_5$  – factorul de lățime (se alege funcție de lățimea teoretică a curelei din tabelul 2.8), lățimea curelei dințate fiind standardizată pentru fiecare tipodimensiune în STAS 12918 – 91.

16) Parametrii geometrici ai curelei se pot determina cu relațiile:

$$h = 0.6 \cdot m; \quad S_{z \min} = m; \quad a = m + l \quad (2.15)$$

unghiul  $\alpha$  se alege din tabelul 2.1.

**Tabelul 2.8** Lățimea teoretică, coeficientul de lățime și lățimea curelelor dințate

$b_t$	2,54	3,0	4,0	4,32	5,0	6,04	7,0	7,67	8,0
$c_5$	1,18	1,16	1,12	1,11	1,09	1,06	1,04	1,03	1,03
$b$	3			4,8		6,4		7,9	

**Calculul și construcția sistemelor mecatronice**

**Tabelul 2.8 (continuare)**

$b_t$	9,0	9,41	13,09	20,99	28,86	40,0	45,9	50,0	60,0
$c_5$	1,01	1,01	0,97	0,91	0,88	0,84	0,83	0,82	0,8
$b$		9,5	12,7	19,1	25,4		38,1		

**Tabelul 2.8 (continuare)**

$b_t$	63,5	70,0	80,0	90,0	101,6	120,0	141,1	160,0	181,4
$c_5$	0,8	0,79	0,77	0,76	0,75	0,74	0,72	0,71	0,7
$b$	50,8				76,2		101,6		127,0

**Elementele de cinematică** pentru transmisia prin curea dințată cuprind următoarele mărimi de calcul:

17) *Viteza periferică a curelei* se determină funcție de turația și diametrul primitiv ale uneia dintre roți (ex. roata mică)

$$v = \frac{\pi \cdot D_{p1} \cdot n_1}{60 \cdot 1000} \quad (2.16)$$

18) *Frecvența încovoierilor curelei dințate* este dată de:

$$f = x \cdot v \cdot 10^3 / L_p \quad (2.17)$$

în care:  $x$  reprezintă numărul de roți care formează transmisia.

19) *Forța periferică utilă* transmisă de curea se determină știind puterea de calcul și viteza curelei:

$$F_u = 10^3 \cdot P_c / v \quad (2.18)$$

20) *Forța de pretensionare* (întindere) a curelei este mai mică decât la curelele late sau trapezoidale și este recomandată la viteze sub 20 m/s pentru obținerea unei lungimi geometrice constante:

$$F_0 = 0,5 \cdot F_u \quad (2.19)$$

21) *Forța de apăsare* care încarcă arborii și reazemele transmisiei prin curea dințată este dată de relația:

$$F_a = 0,5 \cdot F_u \quad (2.20)$$

**Geometria roților de curea dințată** este reprezentată în figura 2.26, iar stabilirea dimensiunilor nominale ale roților de curea se realizează prin calcul utilizând următoarele relații:

$$D_p = m \cdot z \quad d_e = m \cdot (z - x) \quad h = y_1 \cdot m \quad (2.21)$$

$$l_0 = y_2 \cdot m \quad r_1 = K_1 \cdot m \quad r_2 = K_2 \cdot m$$

iar coeficienții de calcul sunt indicați în tabelul 2.9 pentru fiecare tip de curea dințată cu profilul dinților trapezoidal.

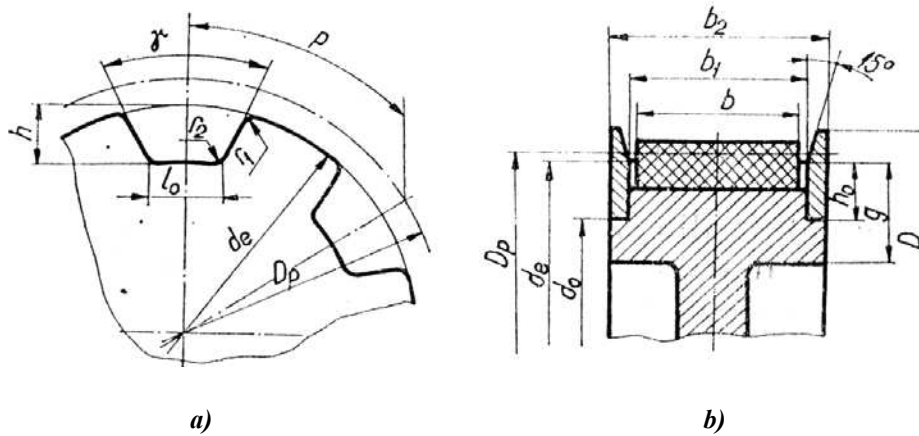


Fig. 2.26 Elementele geometrice ale roții de curea dințată

Tabelul 2.9 Coeficienți pentru dimensionarea roților de curea dințată

Tip curea	Modulul $m$	$x$	$y_1$	$y_2$	$K_1$	$K_2$	$\alpha^p$
XL	1.617	0.314	0.785	0.847	0.235	0.235	50
L	3.032	0.250	0.626	1.071	0.168	0.168	40
H	4.042	0.314	0.564	1.095	0.252	0.252	40
XH	7.074	0.394	0.897	1.122	0.222	0.168	40
XXH	10.106	0.301	0.942	1.198	0.225	0.150	40

**Execuția roților de curea** se realizează din următoarele categorii de materiale:

- fontă (*Fc 200*) - pentru viteze sub 30 m/s;
- oțeluri (*OL 37*; *OL 50*), aliaje neferoase (*AlMgPbCu*) pentru viteze mai mari.

La prelucrarea de serie se utilizează roți de curea turnate sub presiune, iar dantura roților de curea se obține prin frezare, copiere sau rostogolire cu scule profilate după forma golului dintre dinți.

Frecvent se utilizează și *materiale termoplastice* (poliamidă) cureaua fiind obținută prin injecție dinții rămânând inițial neprelucrați.

#### 2.4.2. Calculul de verificare a transmisiei prin curea dințată

*Verificarea transmisiei prin curea dințată* se efectuează după determinarea parametrilor geometrici ai curelei și constă în calculul tensiunilor efective pentru cele două solicitări specifice la care este supusă: forfecarea și strivirea dinților.

1) *Verificarea la forfecare* constă în determinarea tensiunilor de forfecare ce apar în materialul dinților curelei late dințate și compararea cu tensiunile admisibile de forfecare cu respectarea condiției:

$$\tau_f \leq \tau_{af} \quad (2.22)$$

Tensiunea efectivă de forfecare a dintelui curelei este dată de:

$$\tau_f = 0.38 \cdot \frac{F_u \cdot C \cdot C_N}{z_0 \cdot S_z \cdot b} \quad (2.23)$$

în care:  $S_z$  – dimensiunea de forfecare a dintelui;  $C_N$  – coeficient de durabilitate determinat cu relația:

$$C_N = \varphi \cdot \sqrt[6]{N_C} \quad (2.24)$$

cu:  $N_C$  – numărul de cicluri constante la care sunt solicitați dinții curelei pe durata de funcționare  $D_h$  a transmisiei la turația  $n_1$ :

$$N_C = 60 \cdot (z_1 / z_c) \cdot D_h \cdot n_1 \quad (2.25)$$

$\varphi$  – coeficient global de corecție calculat în funcție de coeficienții parțiali:

$$\varphi = \varphi_t \cdot \varphi_l \cdot \varphi_r \quad (2.26)$$

unde:  $\varphi_t$  – coeficient de temperatură (micșorarea caracteristicilor de rezistență a curelei dințate cu temperatura):



$$\varphi_t = \sqrt[6]{n_1 / 10^3} \geq 1 \quad (2.27)$$

$\varphi_t$  – coeficient de lucru funcție de numărul de ore de funcționare pe zi: **1,07** (16 ore) ... **1,15** (24 ore);

$\varphi_r$  – coeficientul numărului de role de tensionare: **1,1** (1 rolă) ... **1,25** (2 role);

Rezistența admisibilă la forfecare este dată funcție de rezistența de rupere a cauciucului dinților  $R_m \approx 8$  MPa:

$$\tau_{af} = 0.8 \cdot R_m \quad (2.28)$$

## 2) Verificarea la strivire

Eforturile unitare la strivire care acționează asupra dinților curelei se calculează similar cu cele de forfecare:

$$\sigma_s = 0.38 \cdot \frac{F_u \cdot C \cdot C_N}{z_{e1} \cdot h_t \cdot b} \leq \sigma_{as} \quad (2.29)$$

unde:  $\sigma_{as}$  – rezistența admisibilă la strivire se determină în funcție de rezistența de rupere a învelișului protector din poliamida al dinților  $R'_m \approx 13$  MPa, cu relația:

$$\sigma_{as} = 0.75 \cdot R'_m \quad (2.30)$$